

FIG. 8

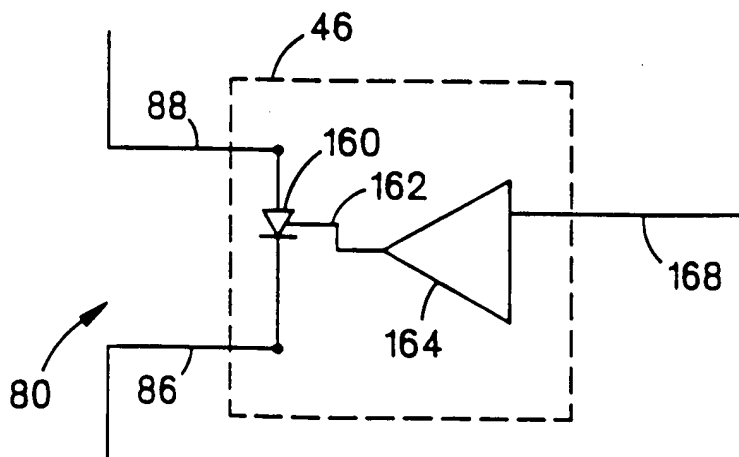


FIG. 9

FIG. 10A

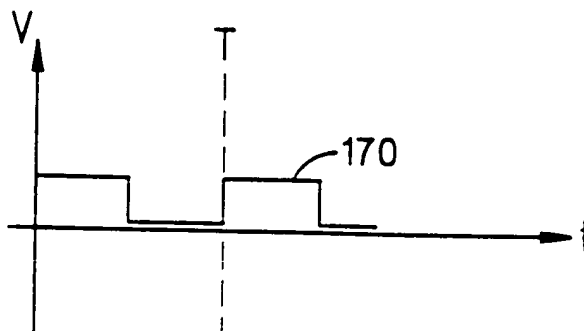


FIG. 10B

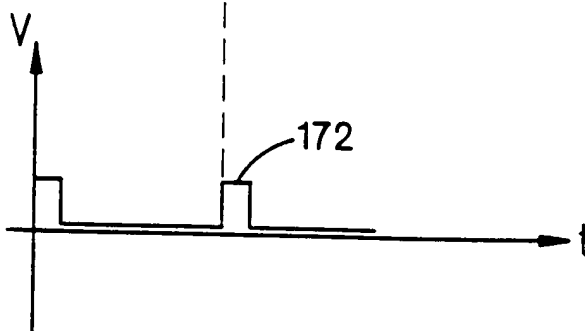
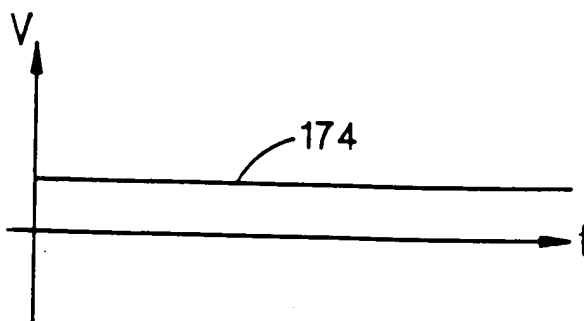


FIG. 10C



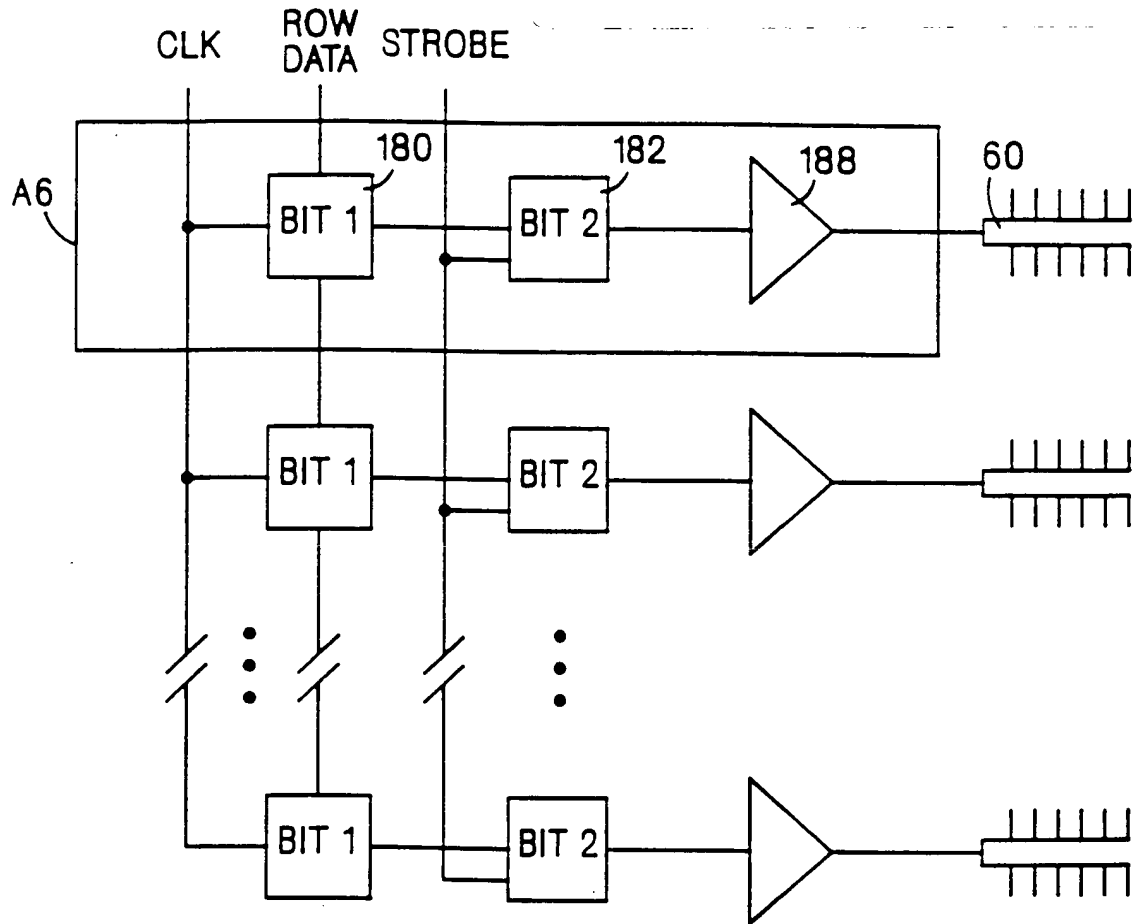


FIG. 11

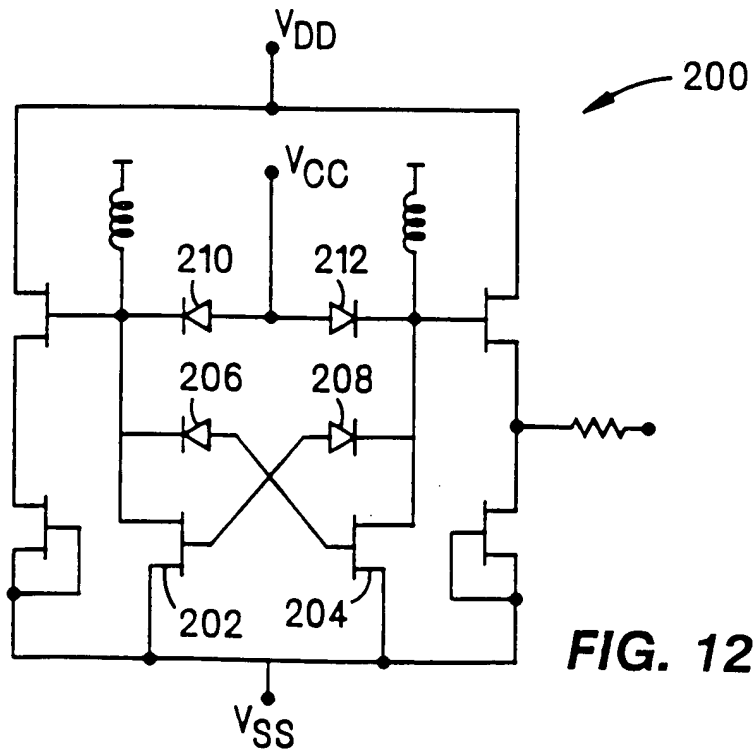


FIG. 12

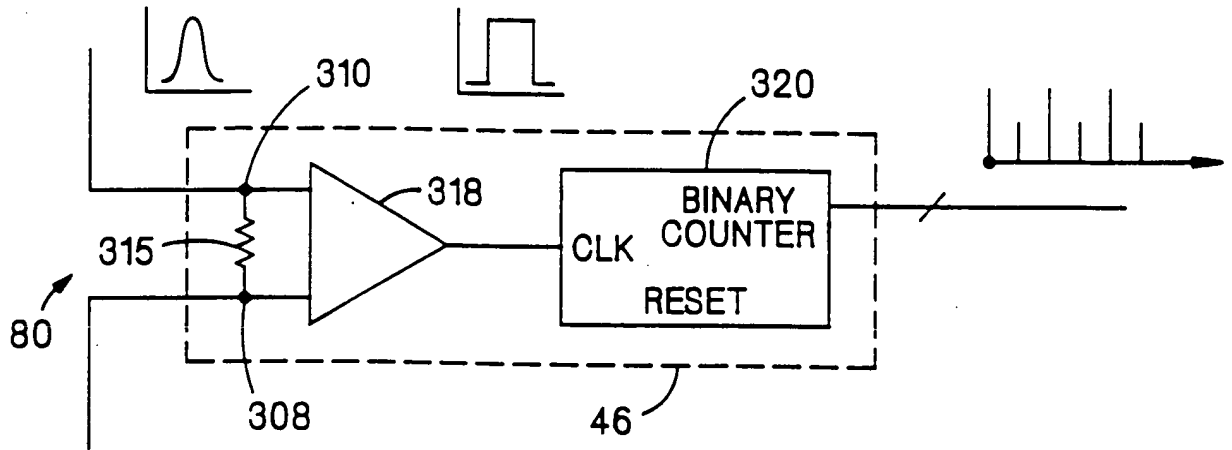


FIG. 13

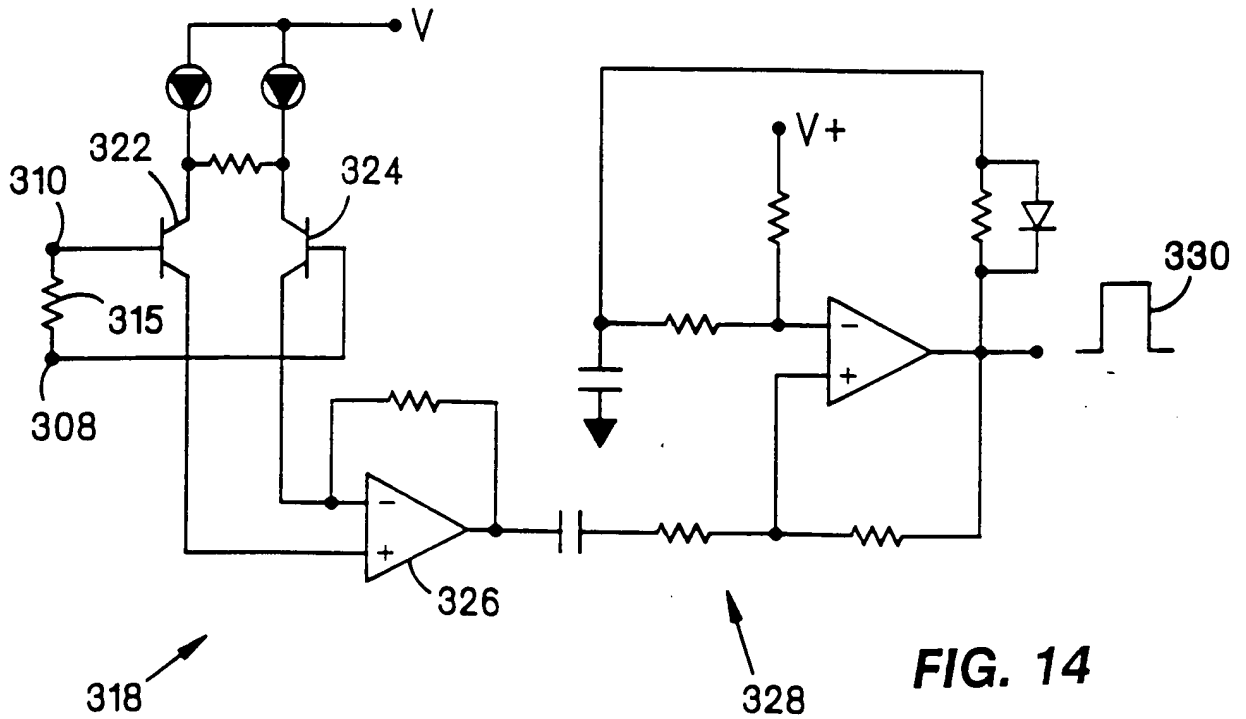


FIG. 14

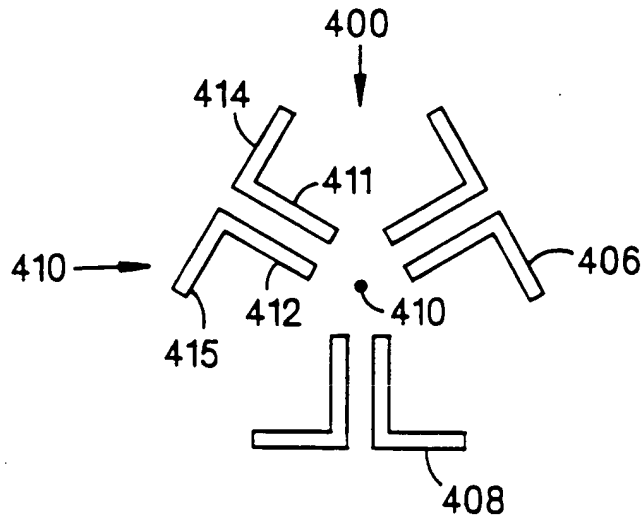


FIG. 15

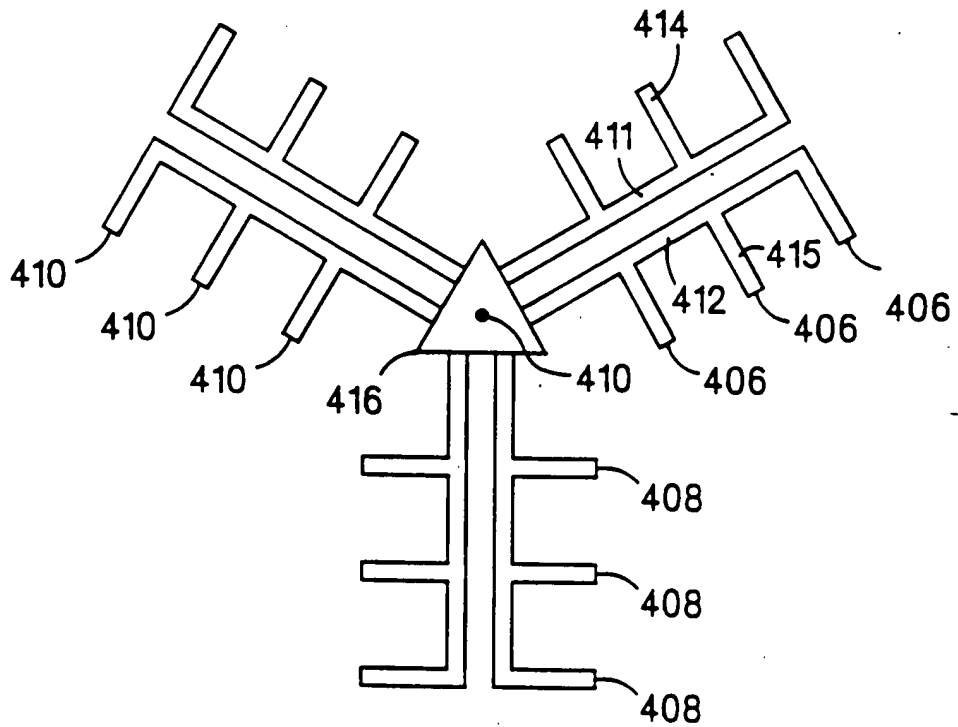


FIG. 16

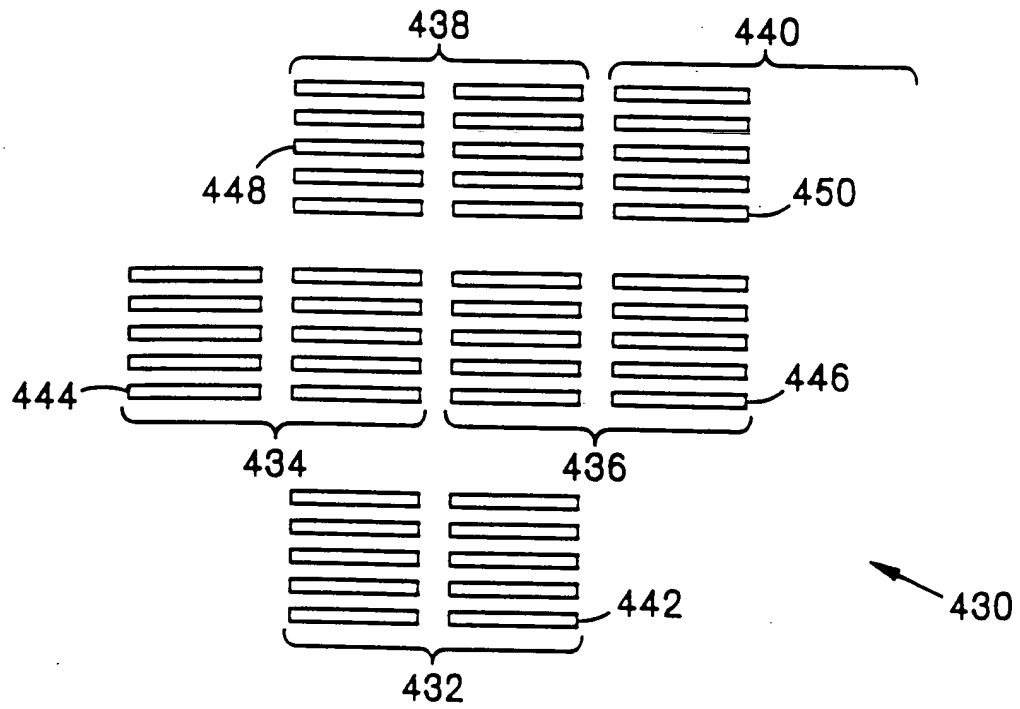


FIG. 17

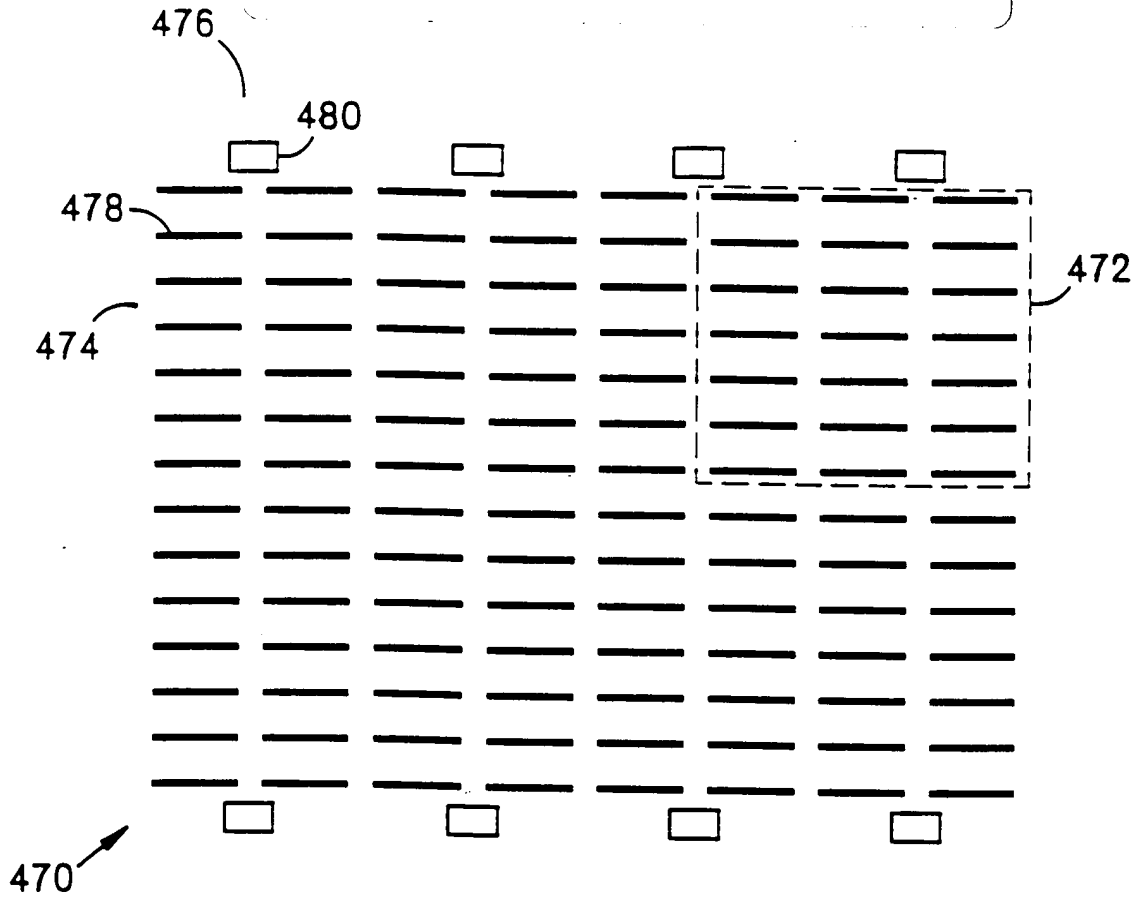


FIG. 18

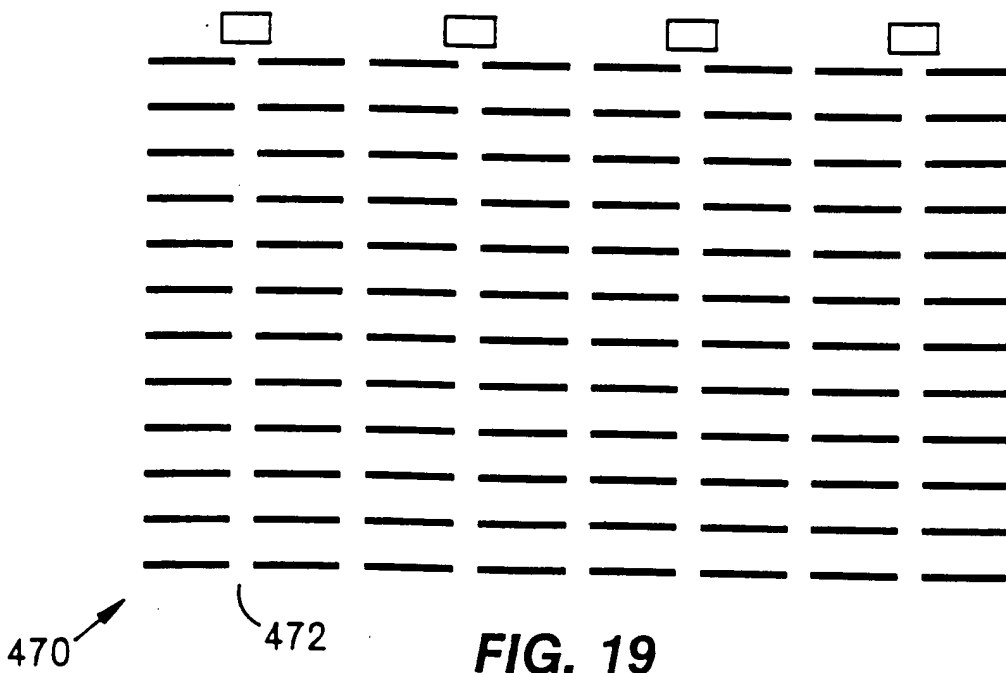


FIG. 19

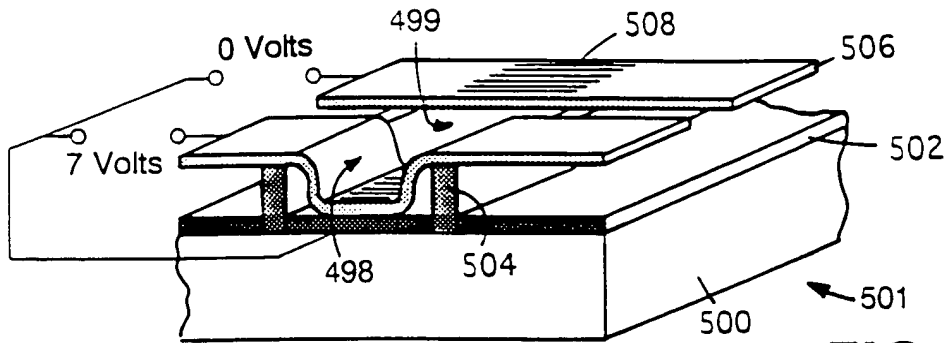


FIG. 20A

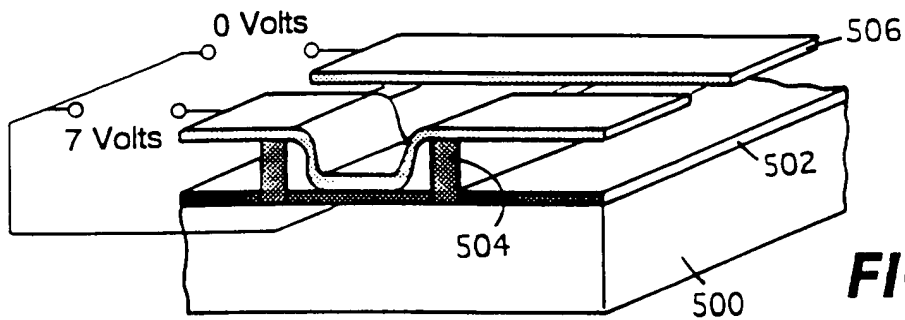


FIG. 20B

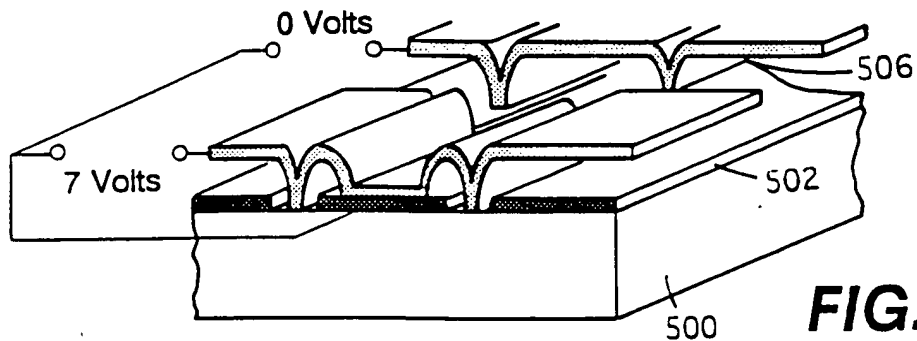


FIG. 20C

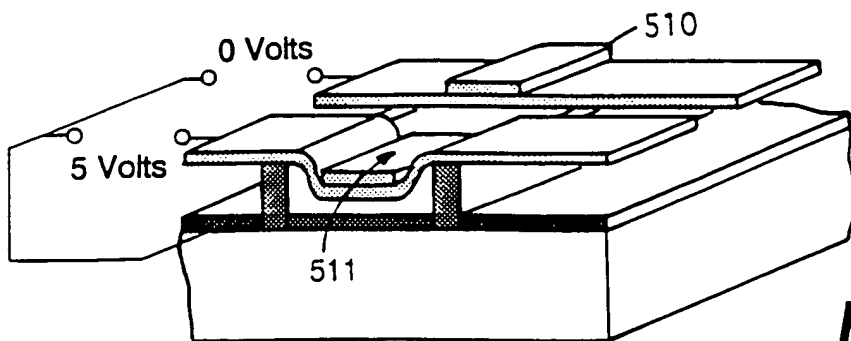


FIG. 20D

205220 26528001

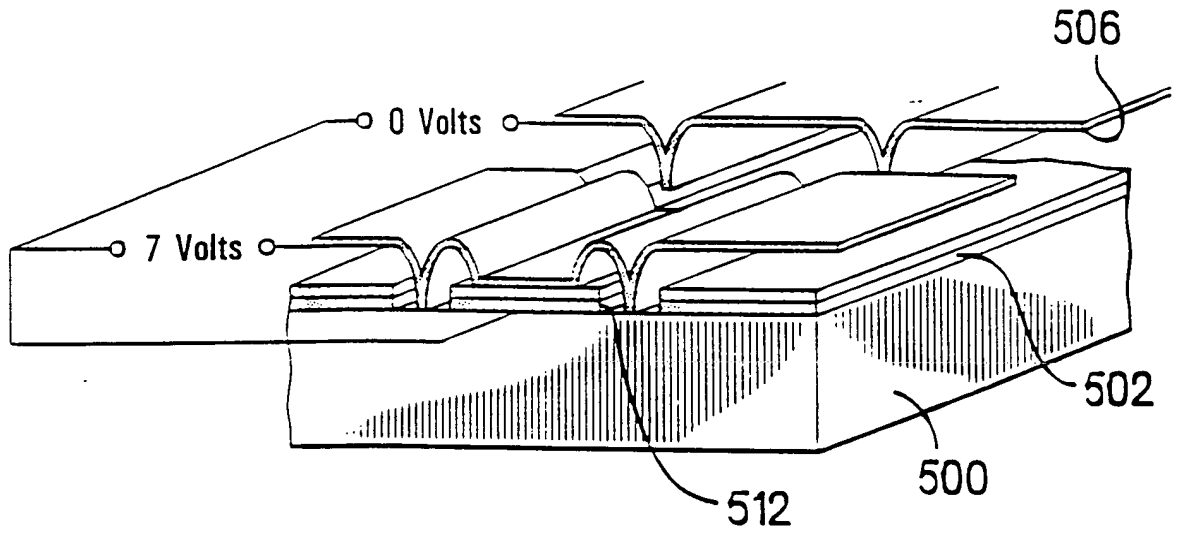


FIG. 20E

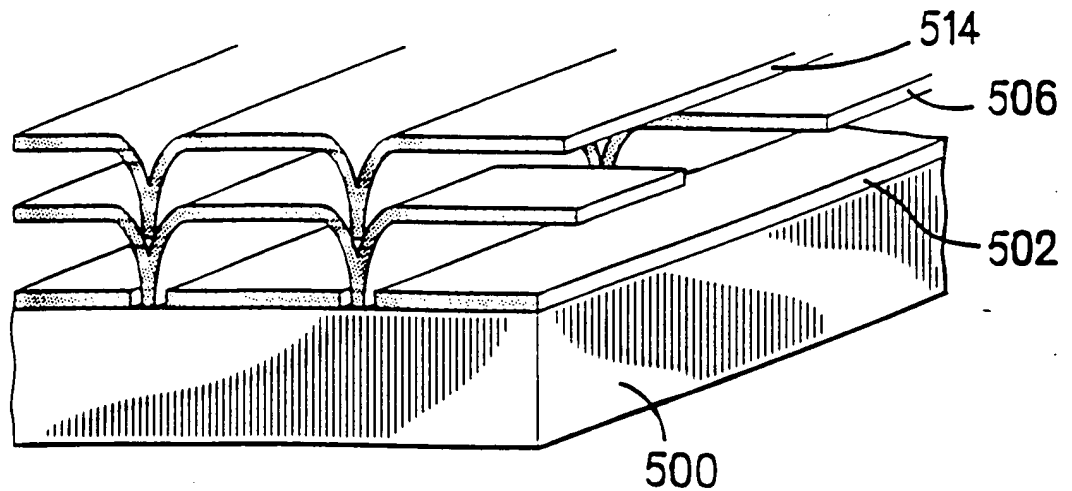
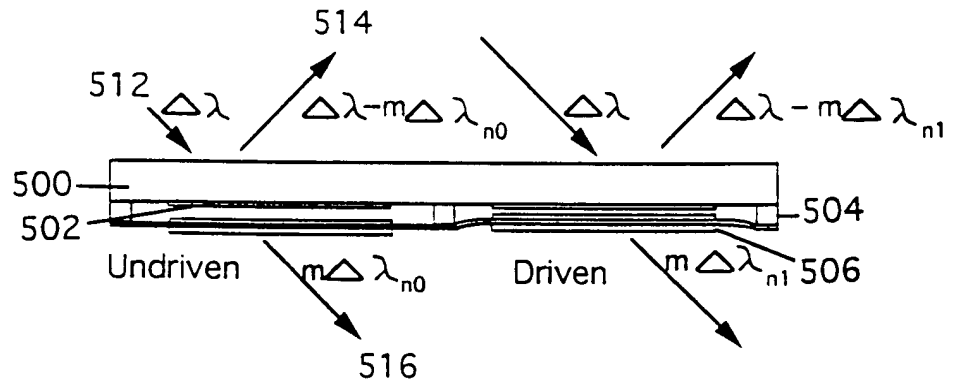
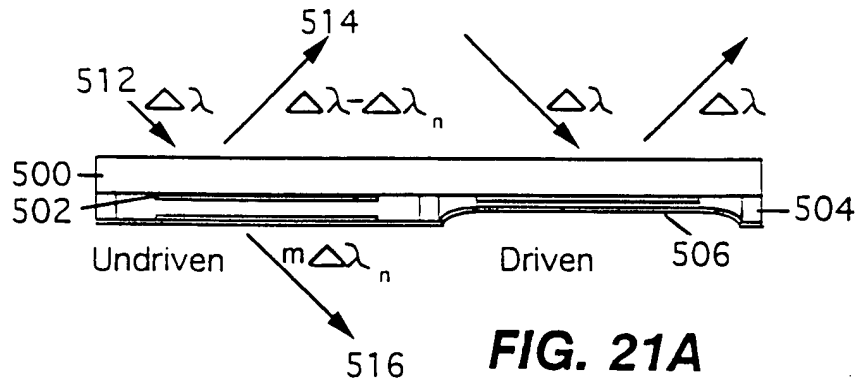


FIG. 20F



eq. 1

$$T = \frac{T_a T_b}{[1 - (R_a^- R_b^-)^{1/2}]^2} \left[1 + \frac{4 R_a^- R_b^+}{[1 - (R_a^- R_b^+)^{1/2}]^2} \sin^2 \left(\frac{\phi_a + \phi_b}{2} - \delta \right) \right]^{-1}$$

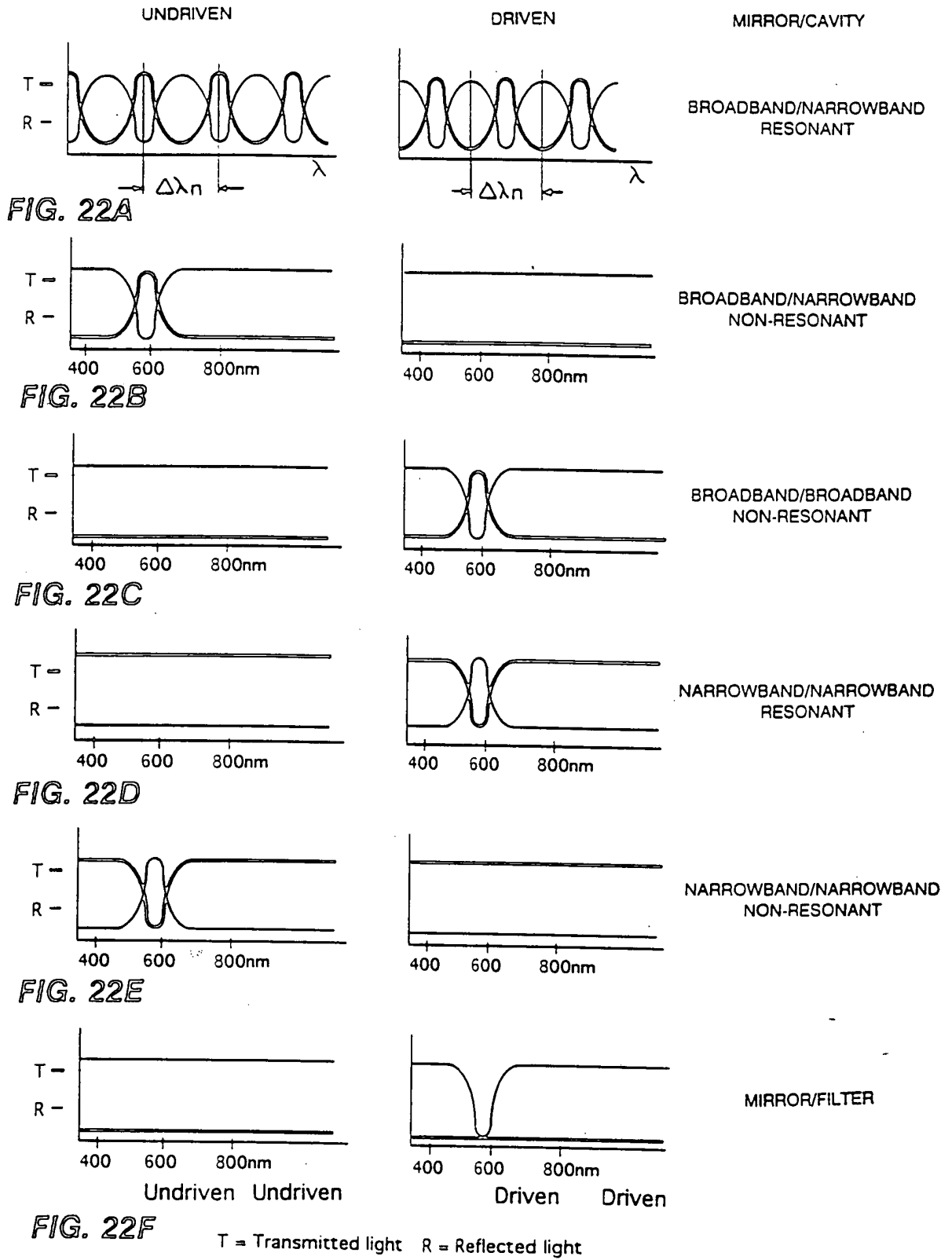
eq. 2

$$\delta = (2\pi n_s d_s \cos \theta_s) / \lambda_s \quad \text{phase thickness}$$

eq. 3

$$T = T_b \quad \text{for } T_a \text{ approaching } 0$$

FIG. 21B



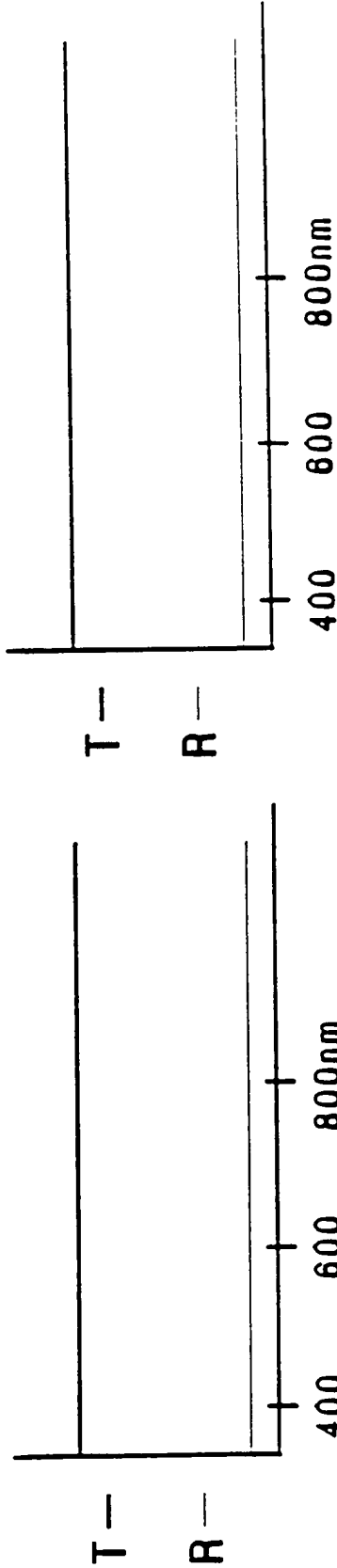


FIG. 22H

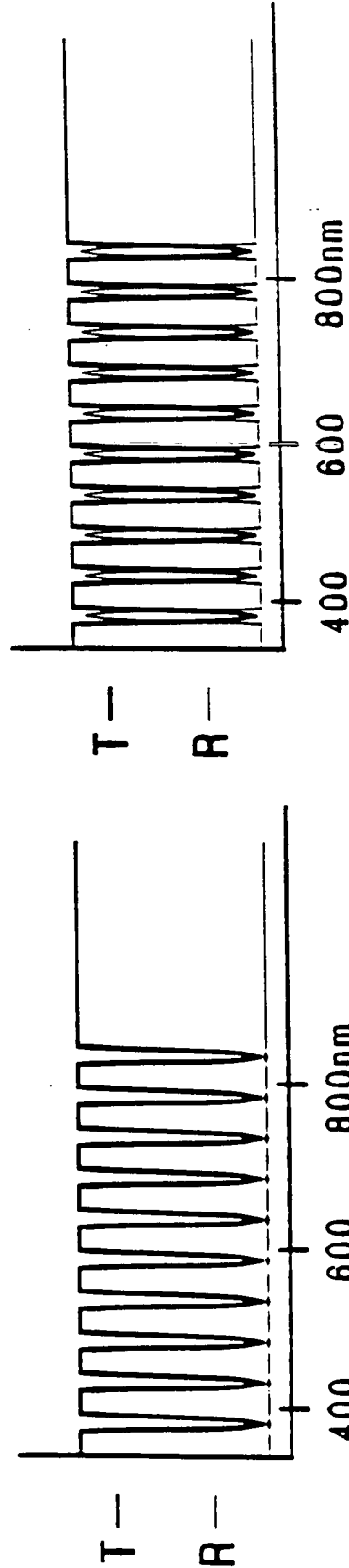


FIG. 22J

FIG. 22I

2005230 2623001

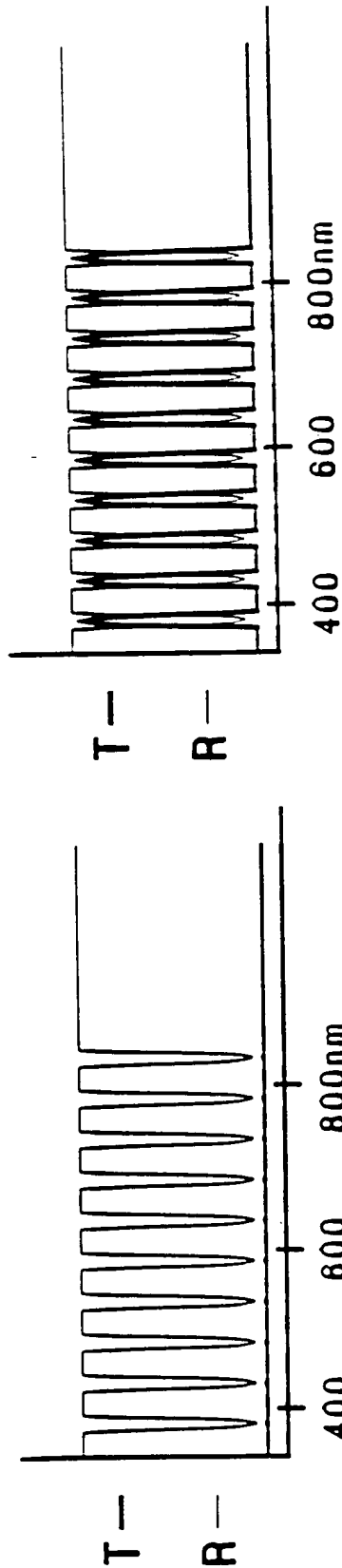


FIG. 22L

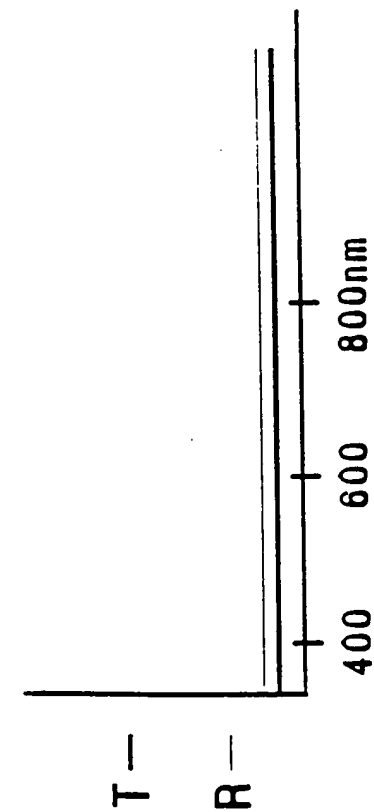


FIG. 22M

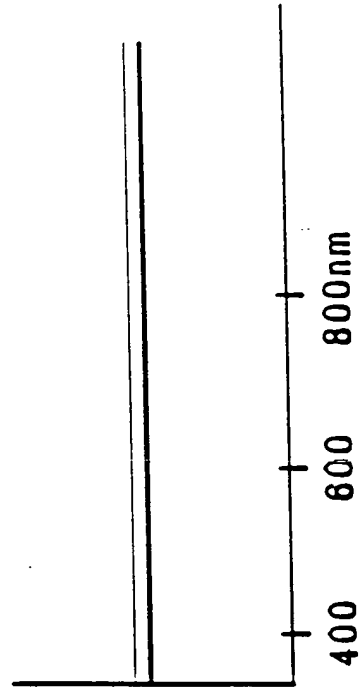


FIG. 22N

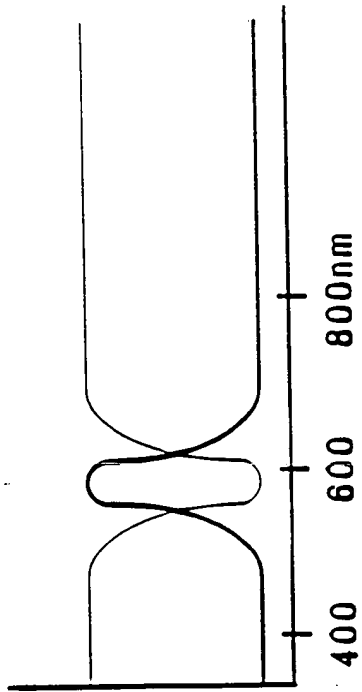


FIG. 22P

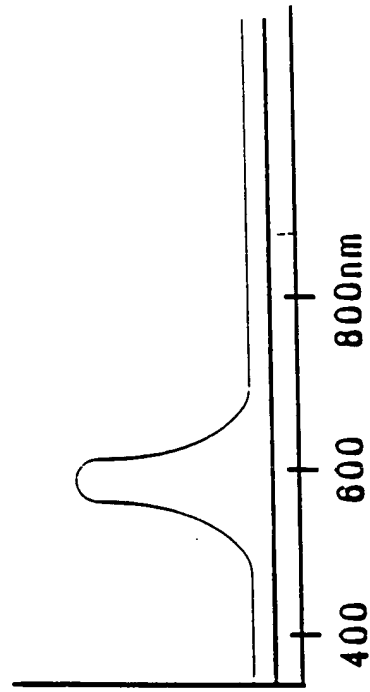


FIG. 22R

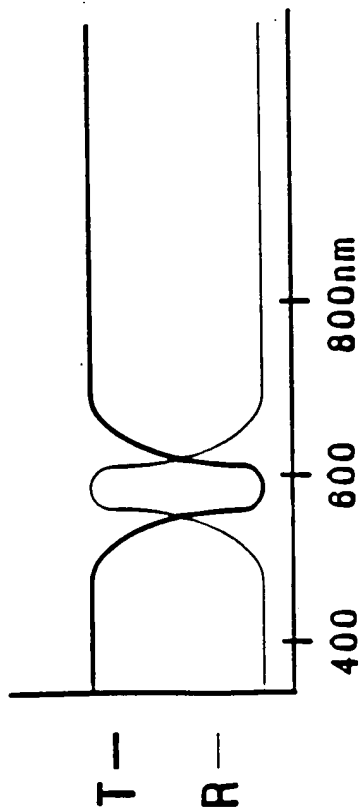


FIG. 22Q

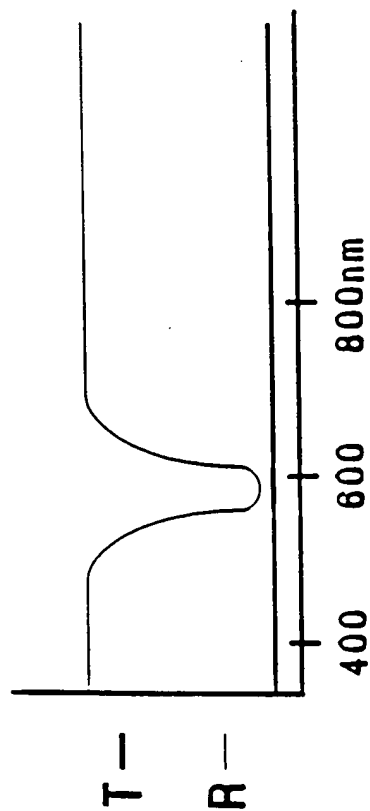


FIG. 22Q

20250726 14:23:00

01568-008003

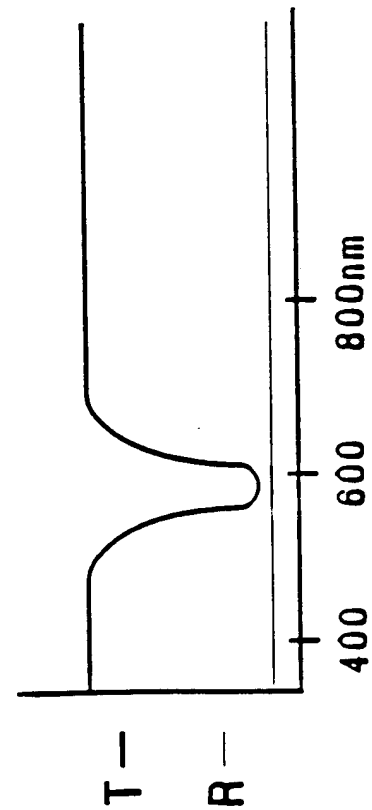


FIG. 22S

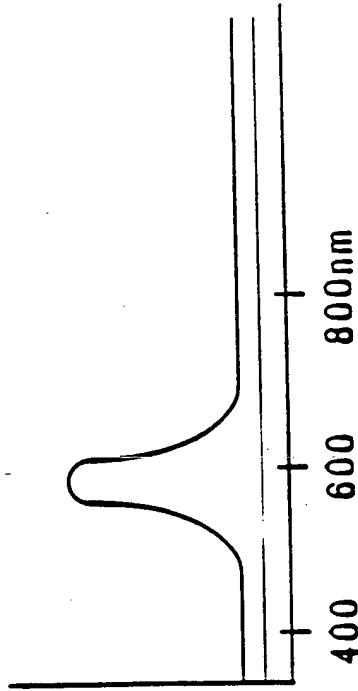


FIG. 22T

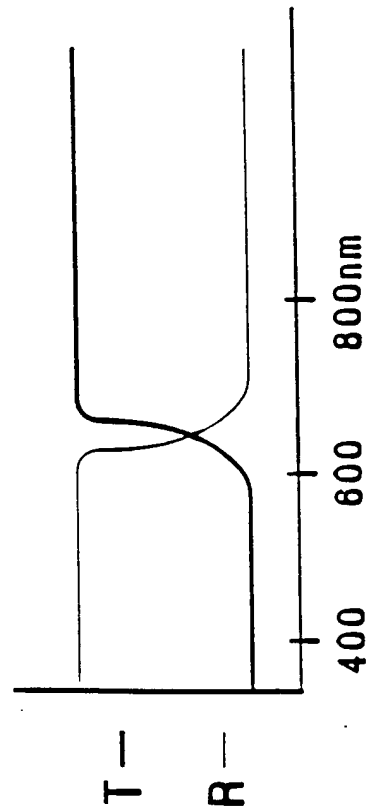


FIG. 22U

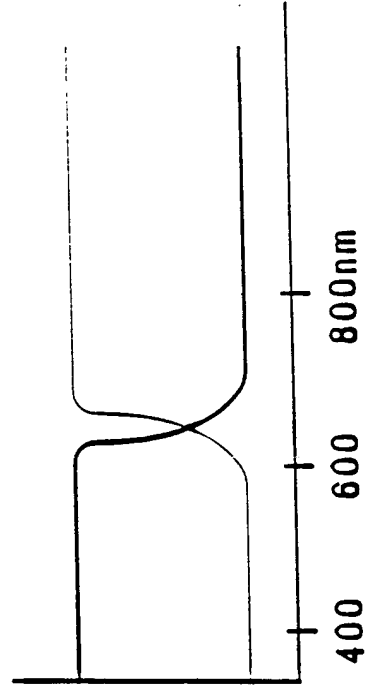


FIG. 22V

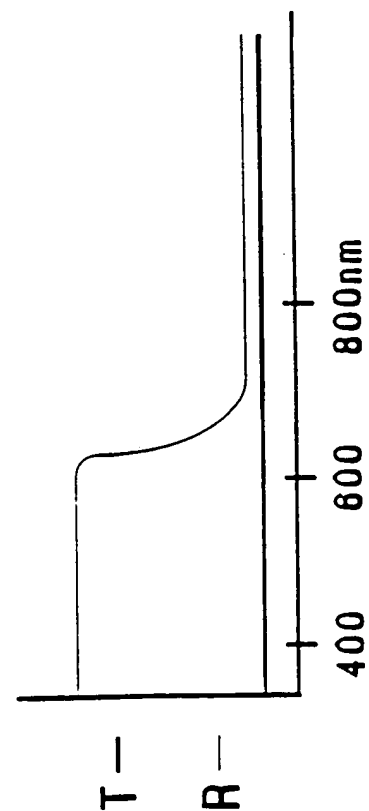


FIG. 22W

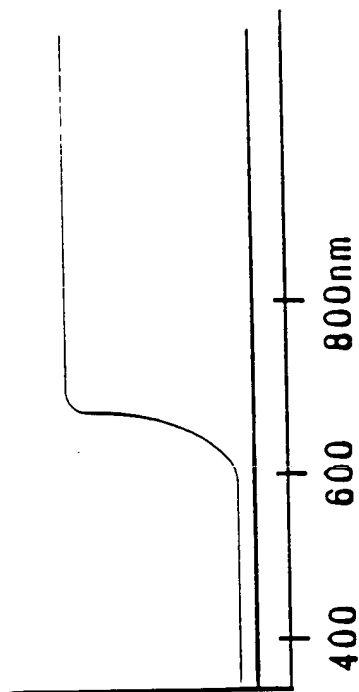


FIG. 22X

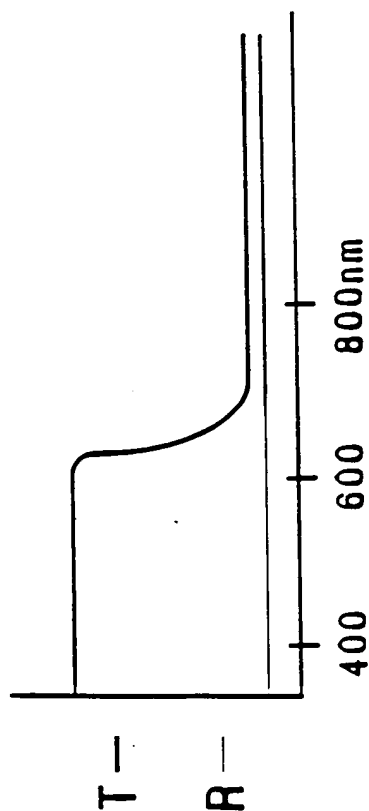


FIG. 22Y

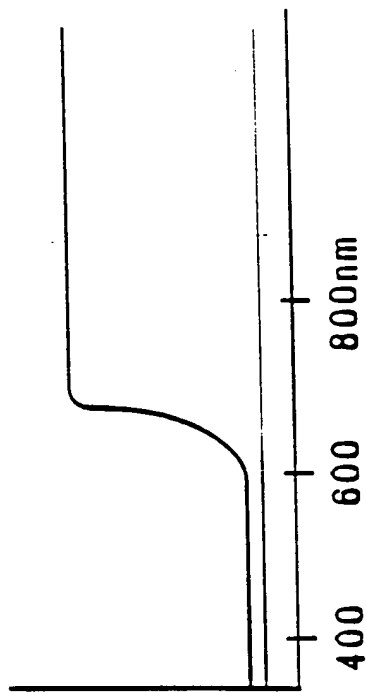
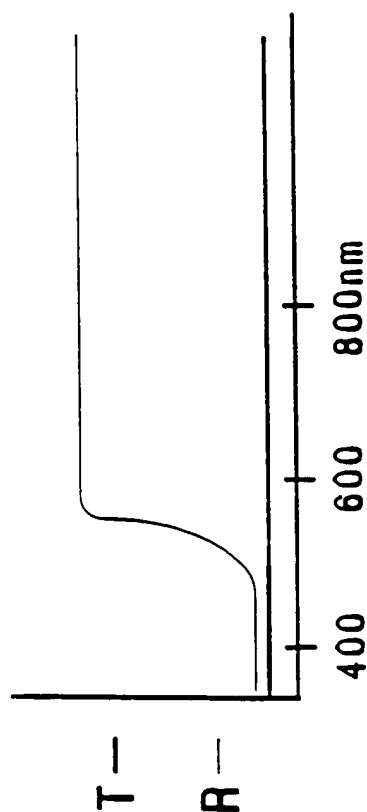
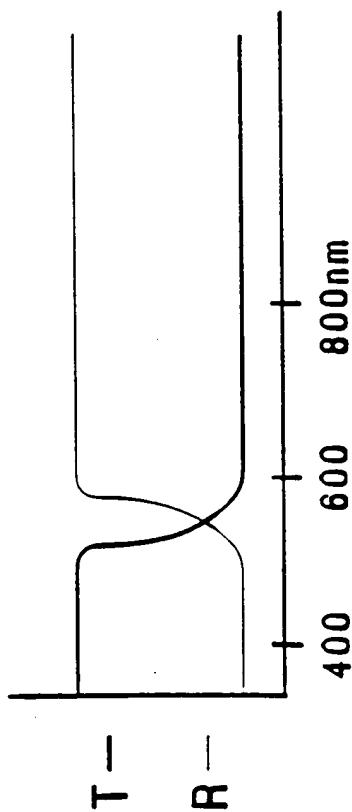
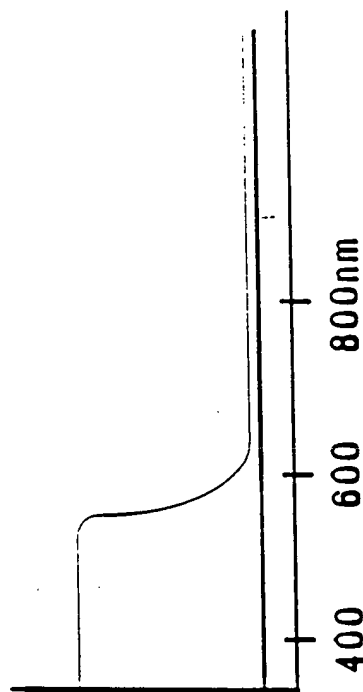
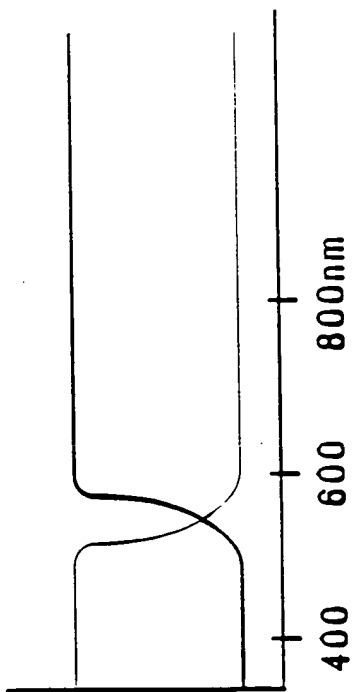


FIG. 22Z



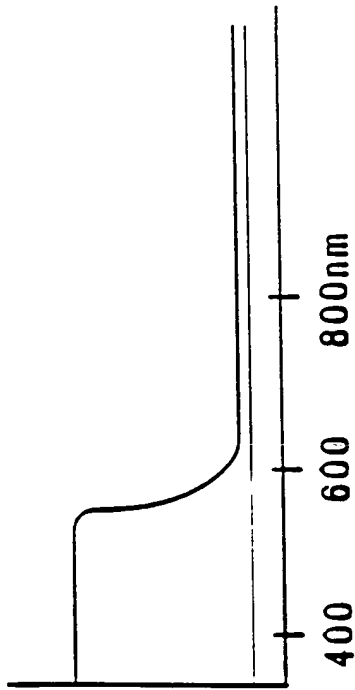


FIG. 22AF

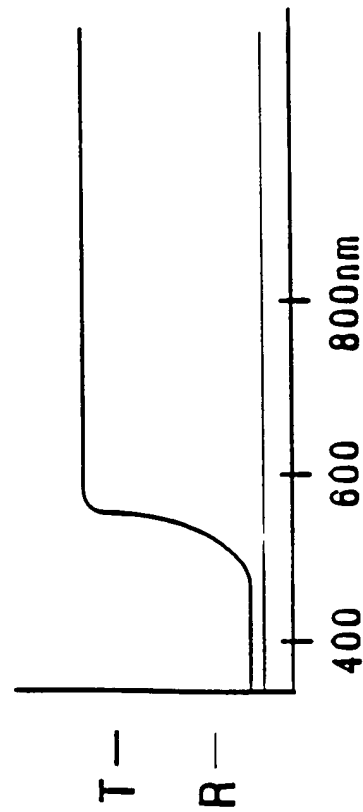
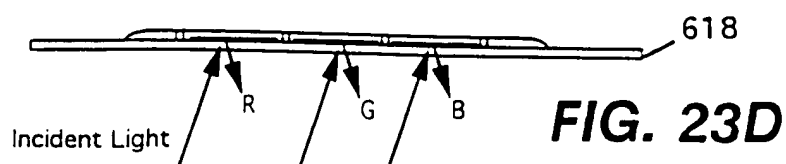
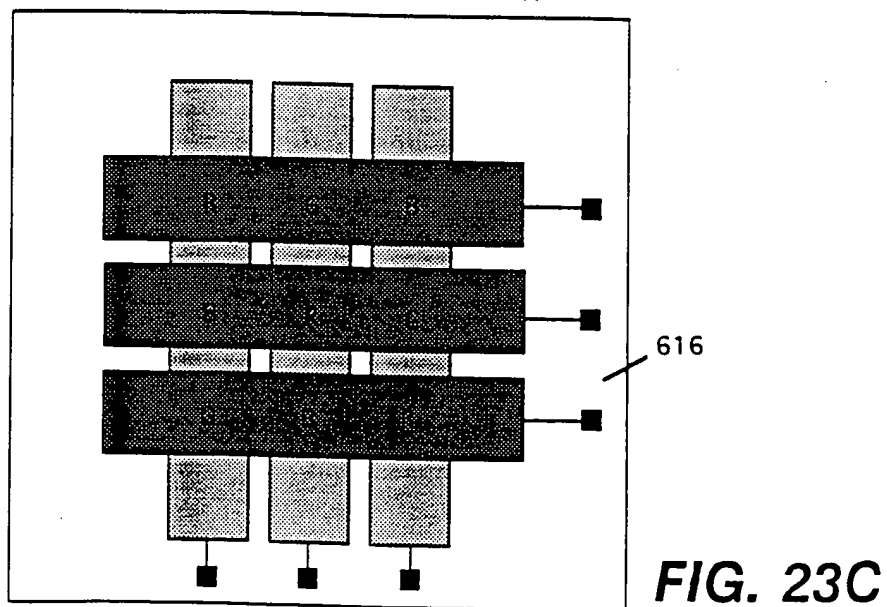
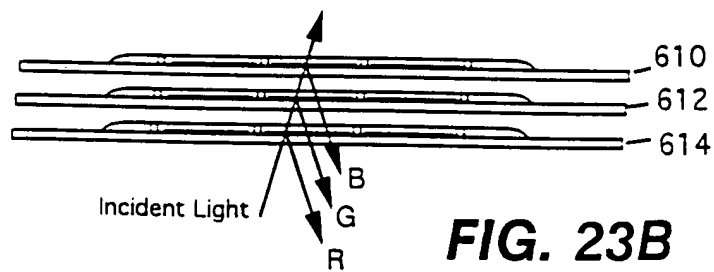
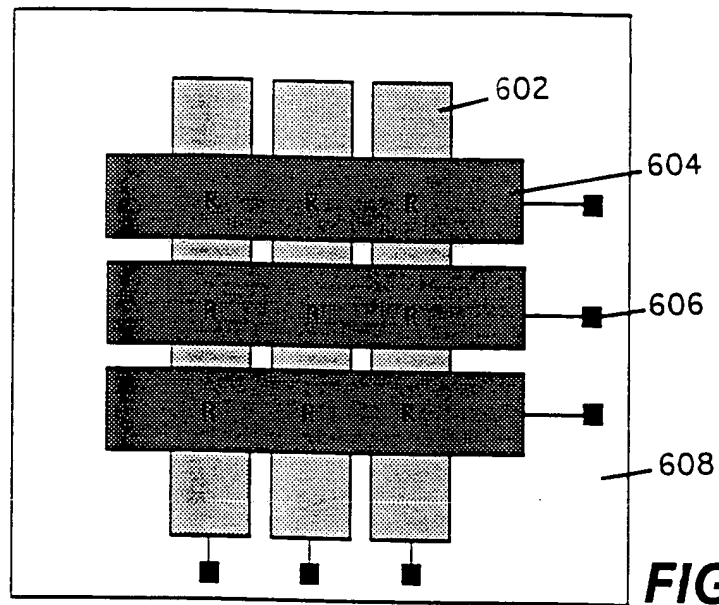


FIG. 22AE

T = Transmitted light
R = Reflected light

20220716 16:22:00



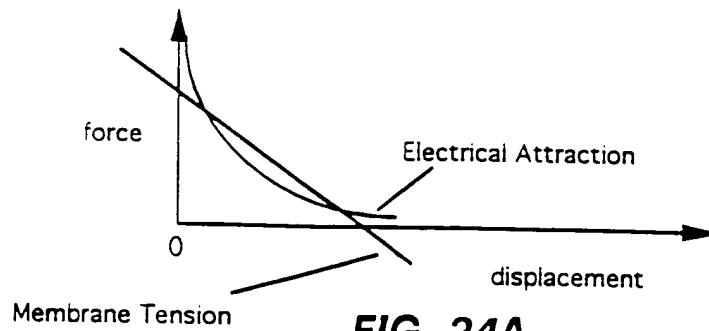


FIG. 24A

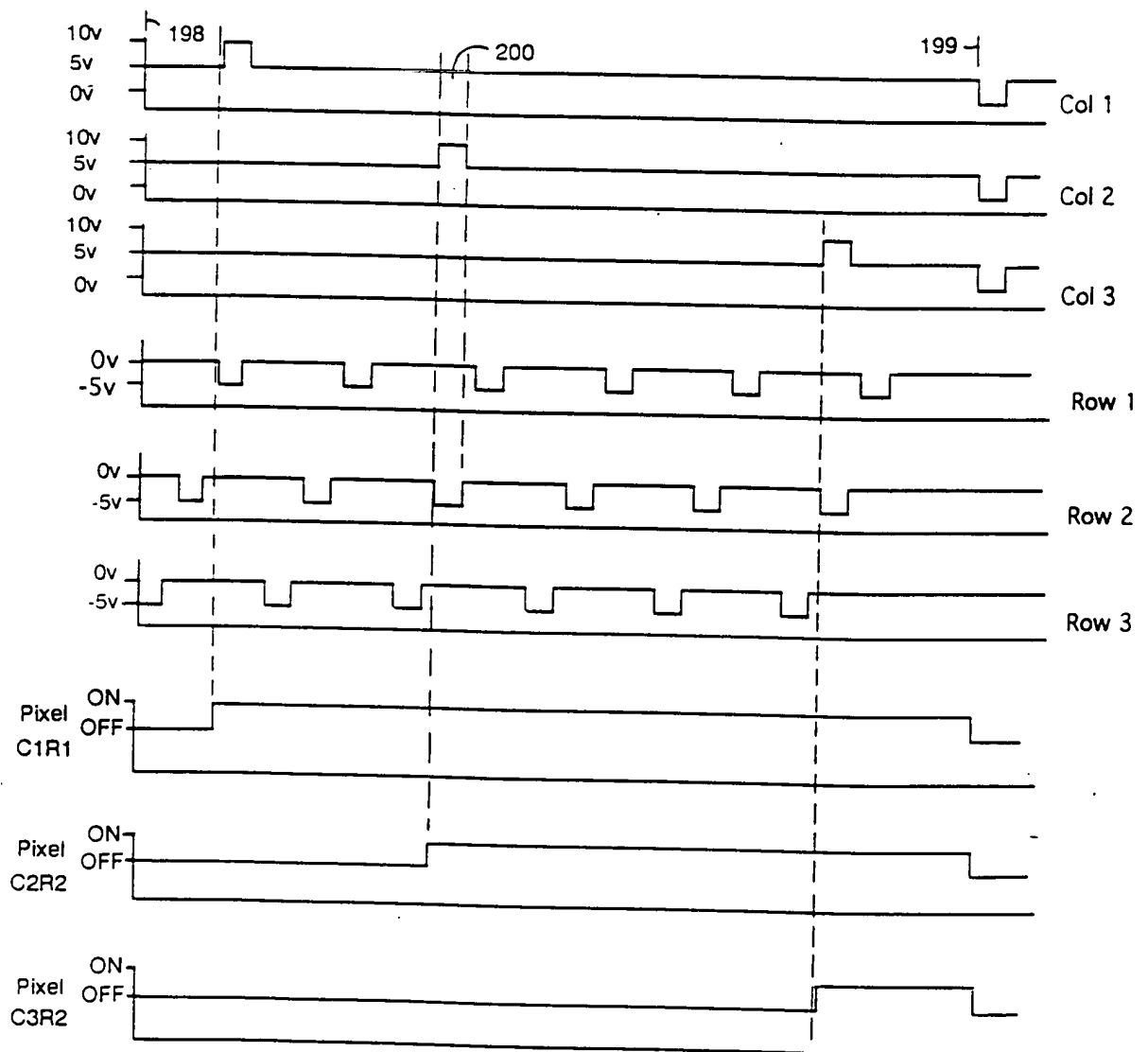


FIG. 24B

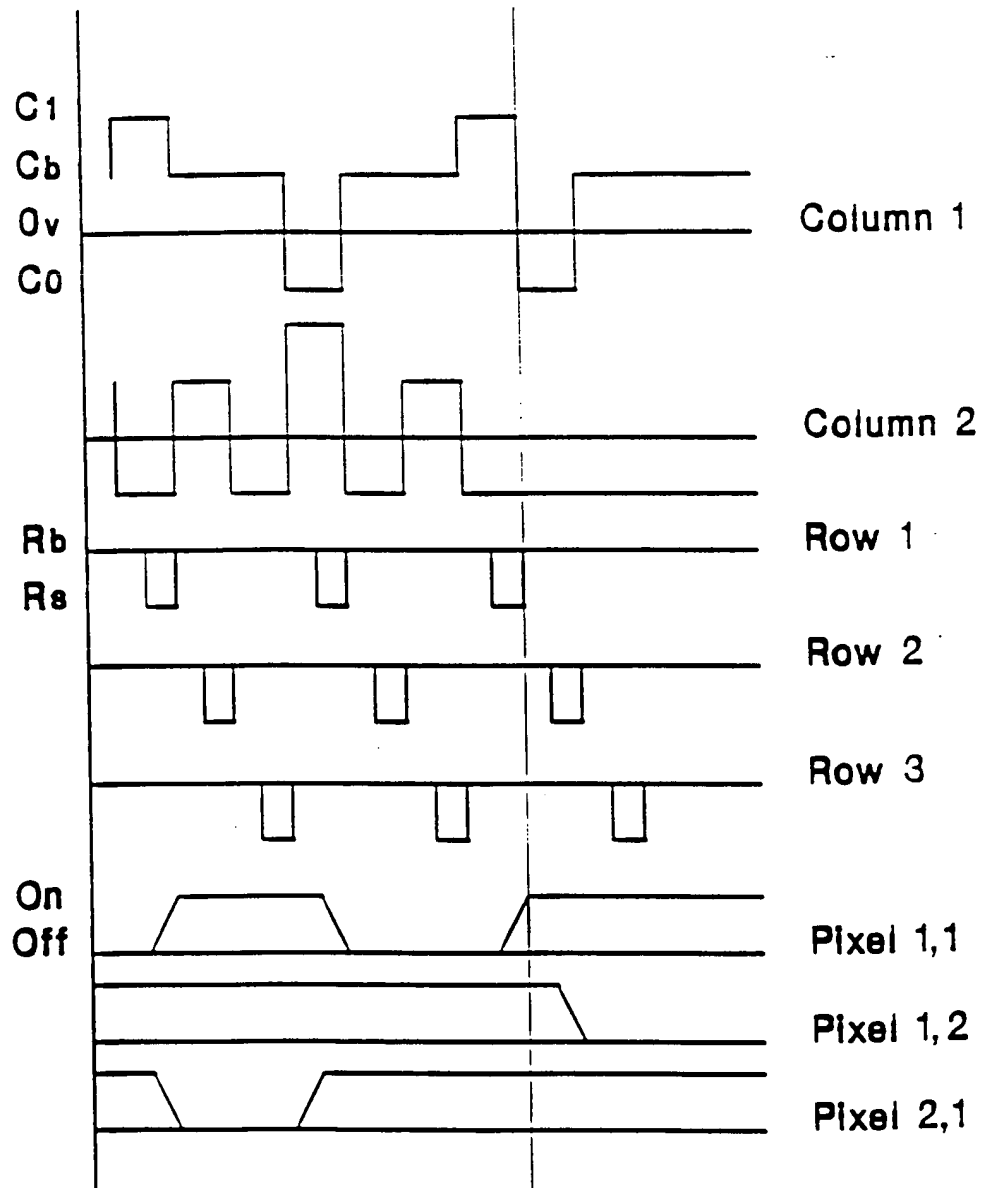


FIG. 24C

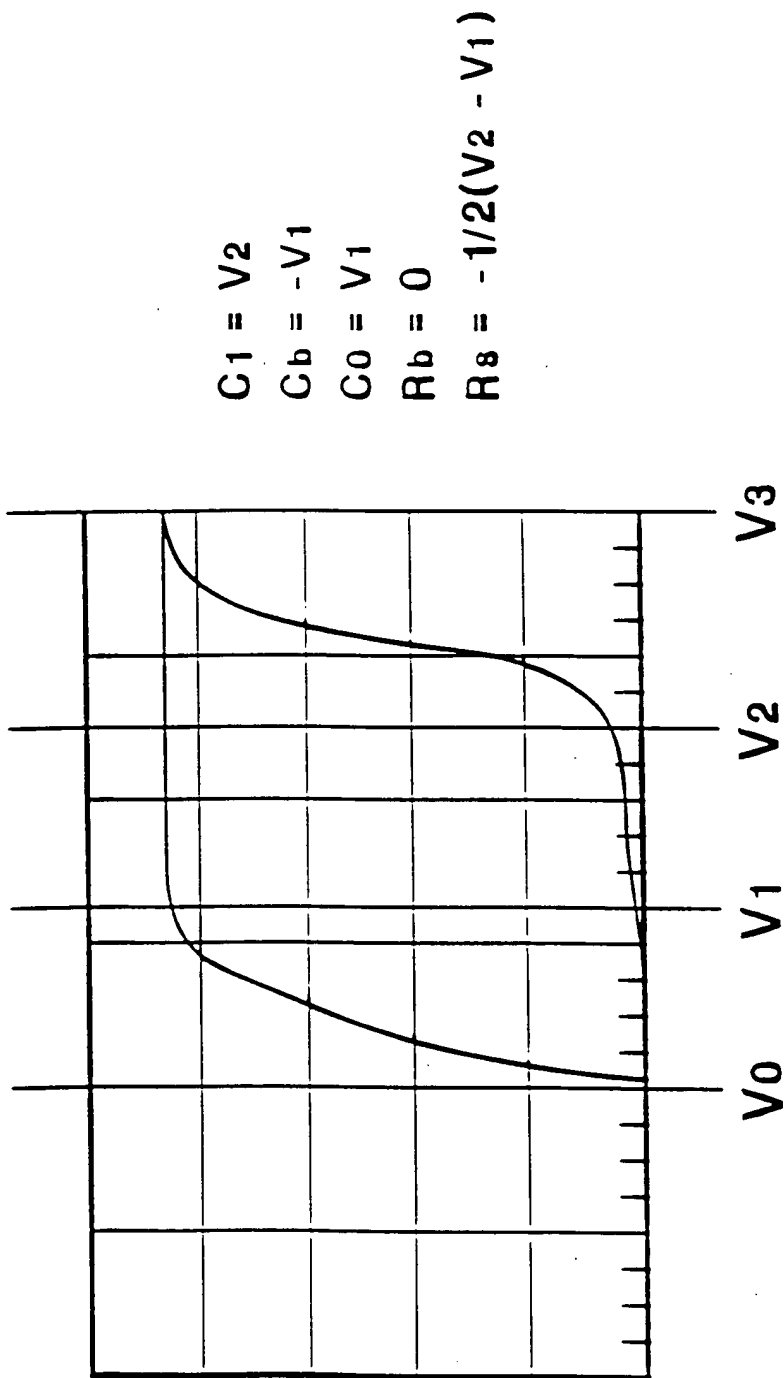


FIG. 24D

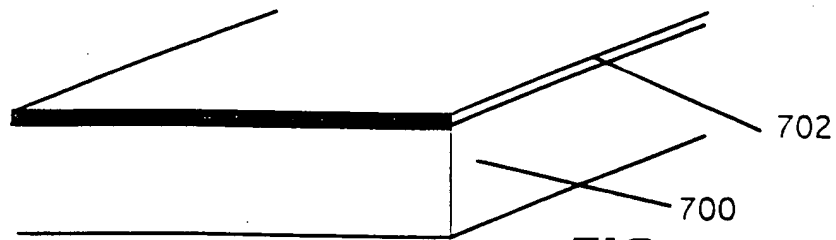


FIG. 25A

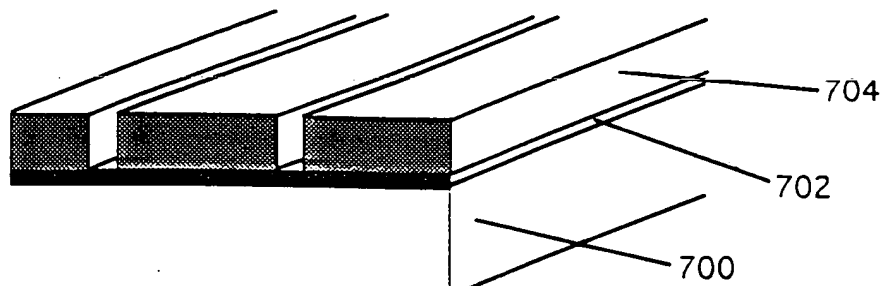


FIG. 25B

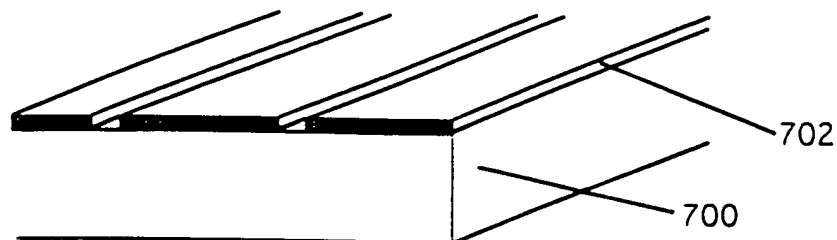


FIG. 25C

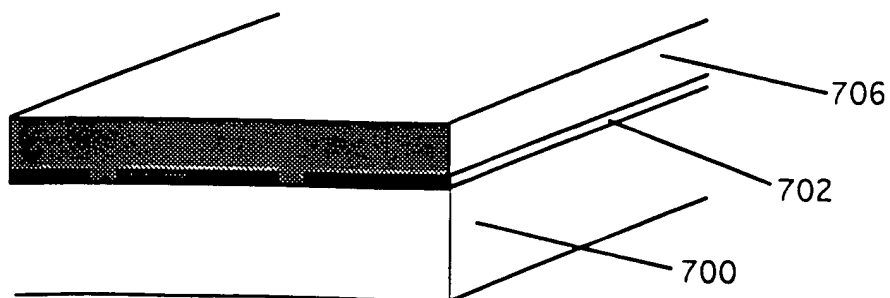


FIG. 25D

20230714 14:30:00

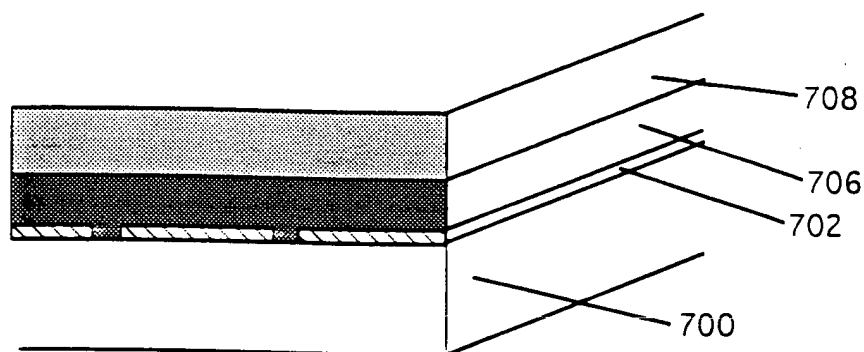


FIG. 25E

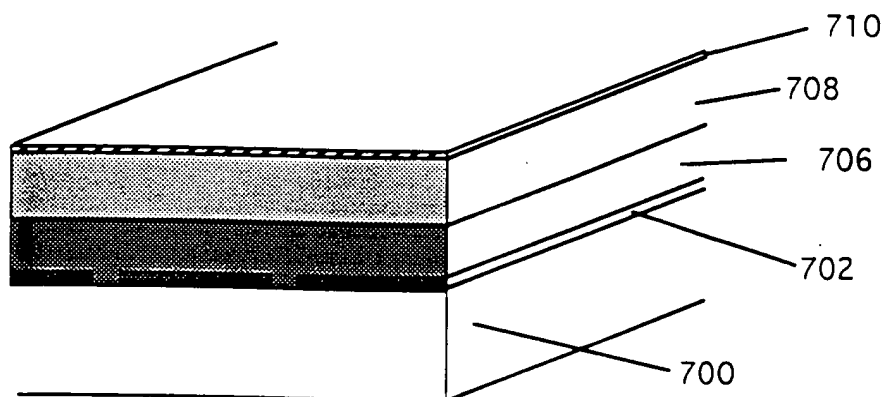


FIG. 25F

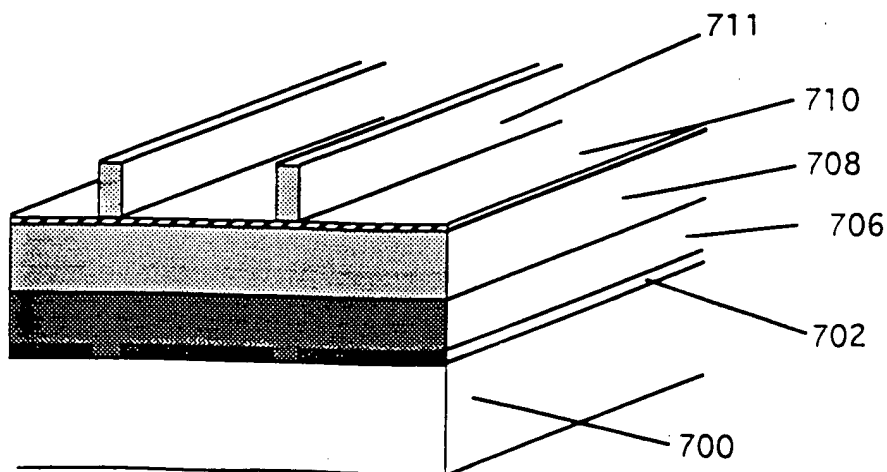
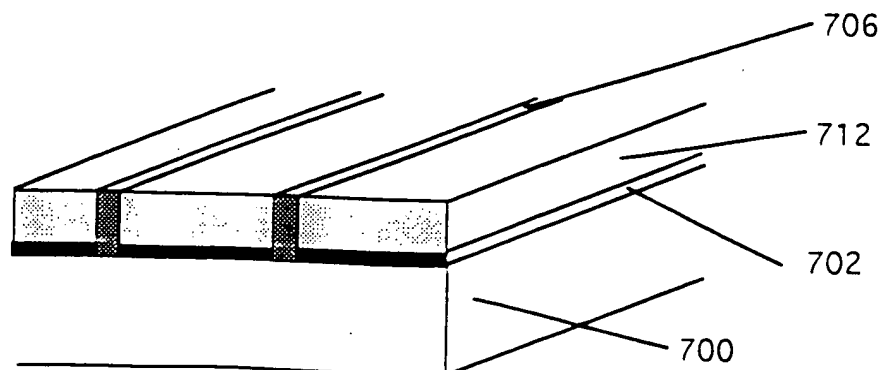
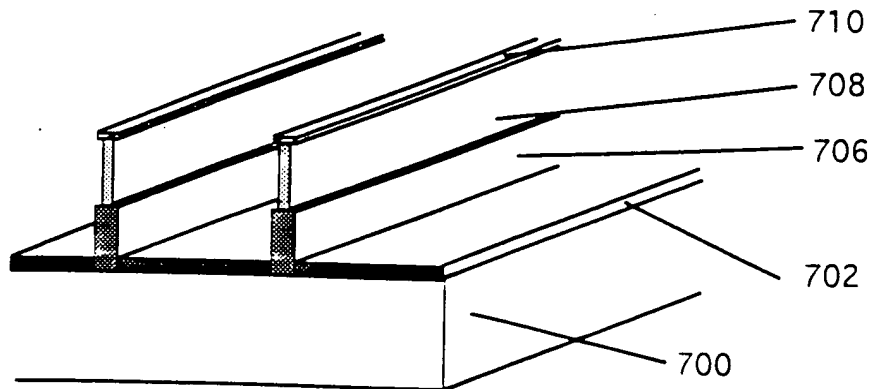
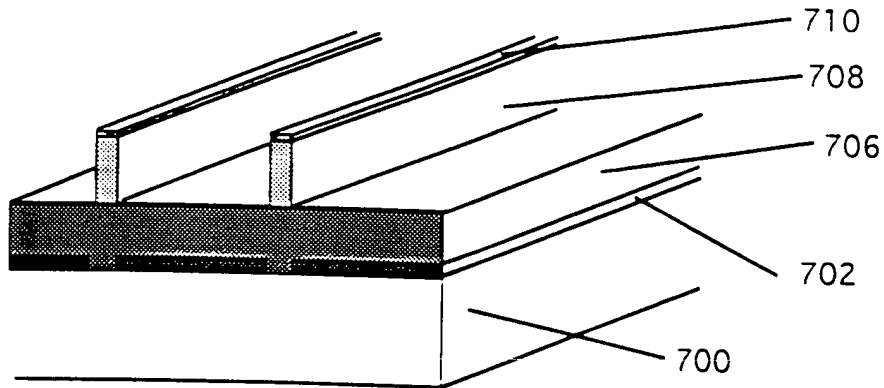


FIG. 25G

20230708003



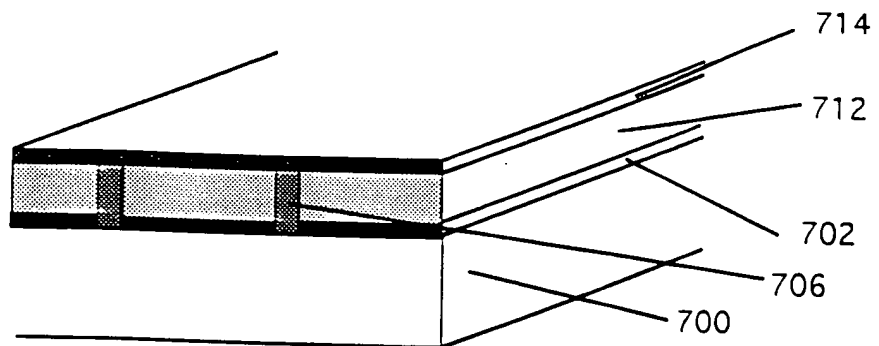


FIG. 25K

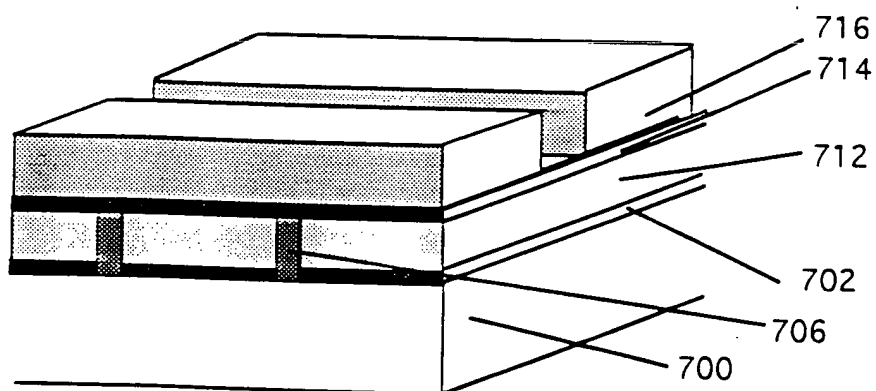


FIG. 25L

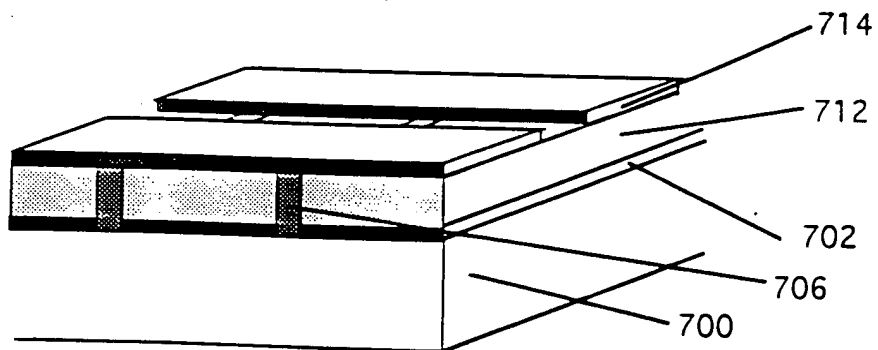


FIG. 25M

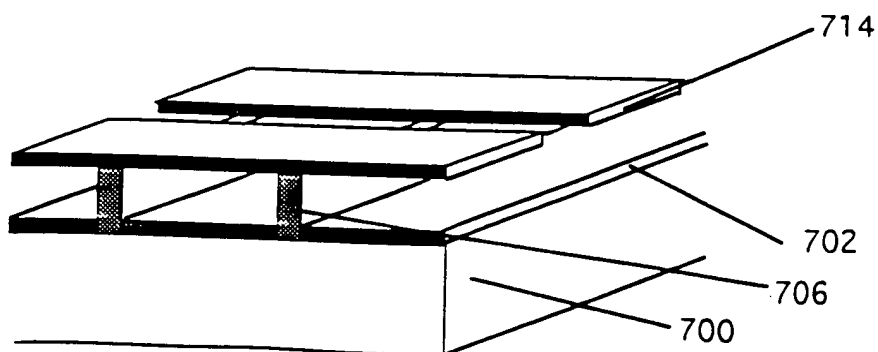


FIG. 25N

2025 RELEASE UNDER E.O. 14176

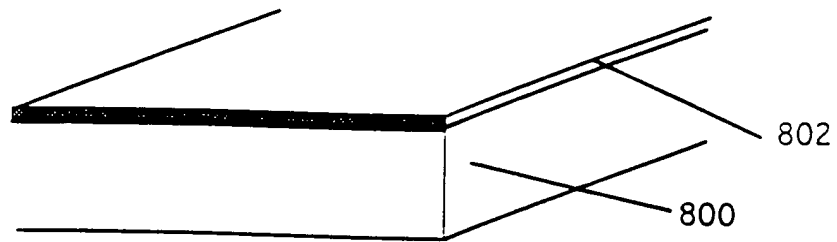


FIG. 26A

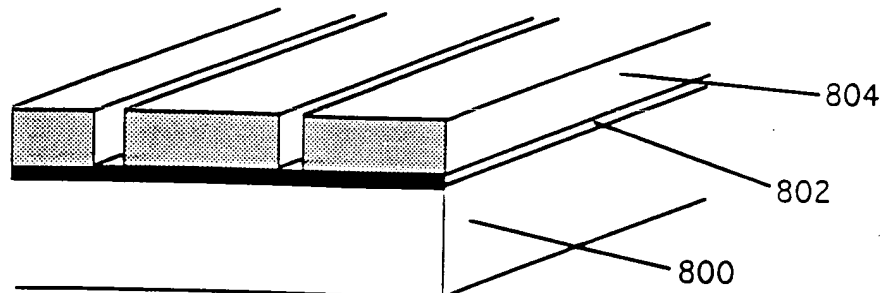


FIG. 26B

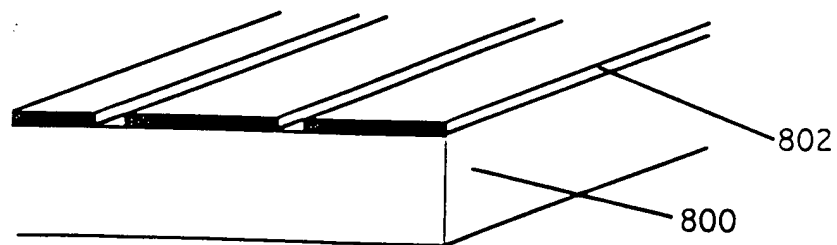


FIG. 26C

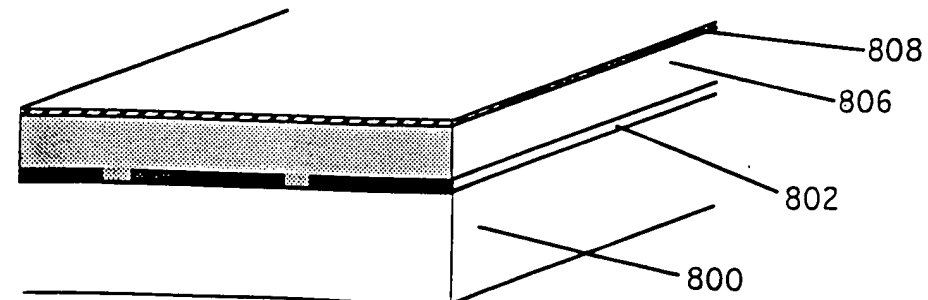
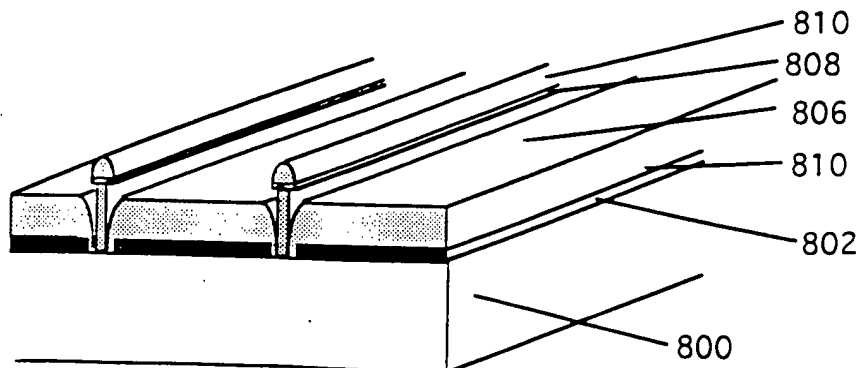
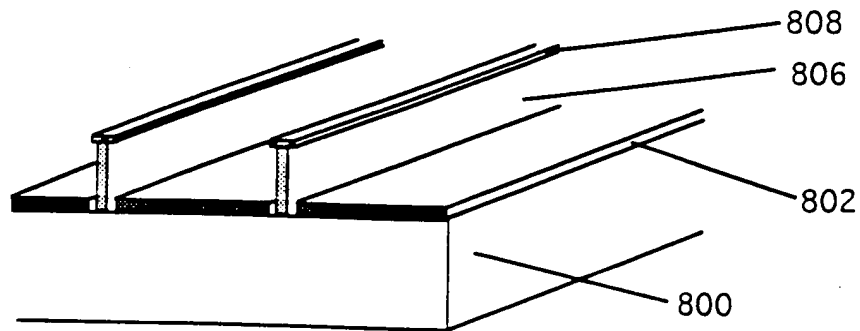
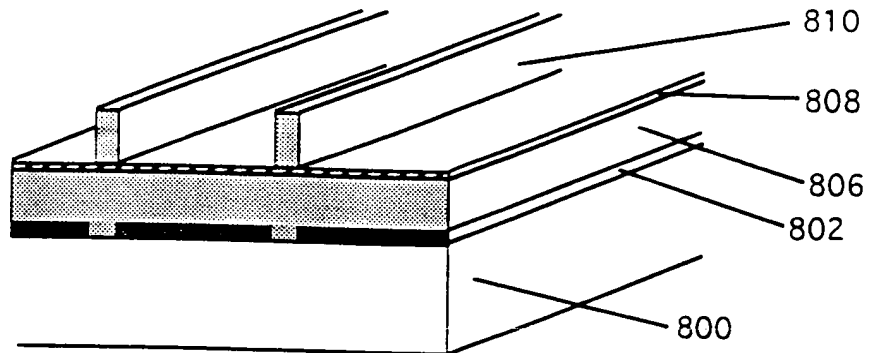


FIG. 26D

SECRET



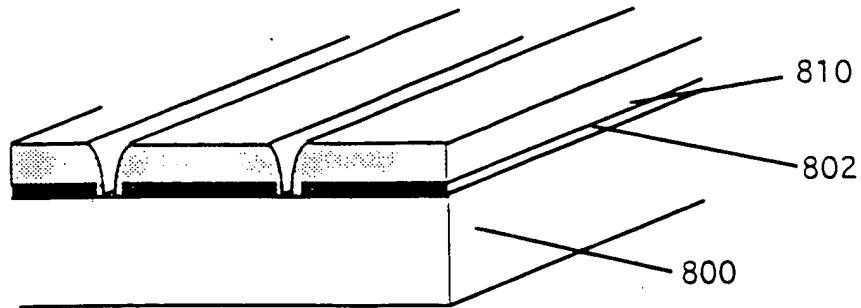


FIG. 26H

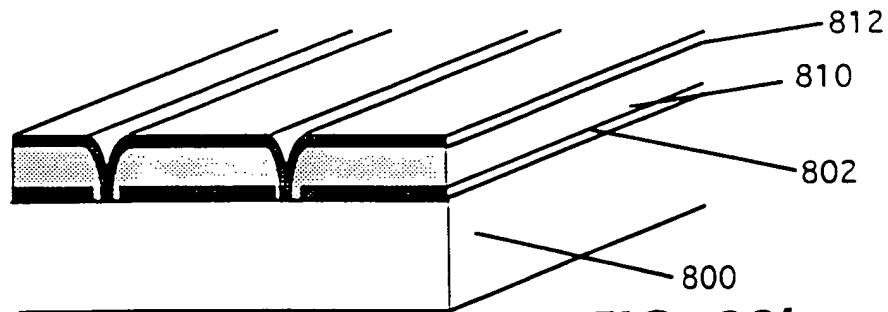


FIG. 26I

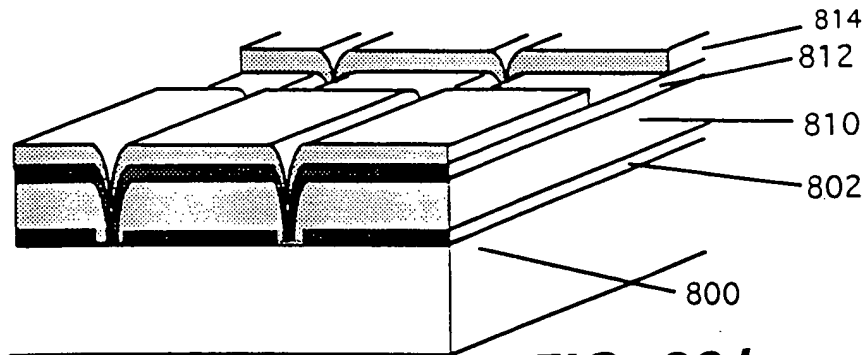


FIG. 26J

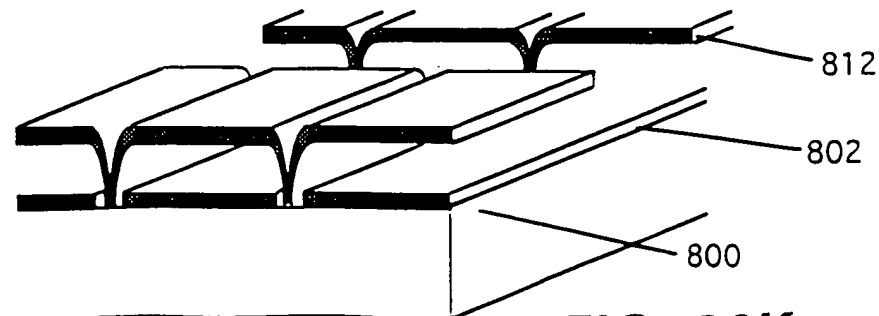


FIG. 26K

20250726 10:55:02



FIG. 27A



FIG. 27B



FIG. 27C

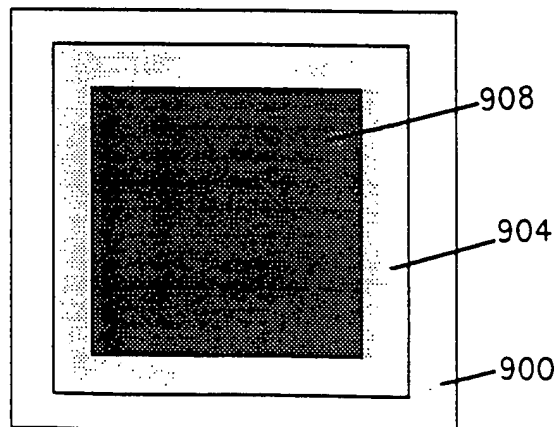
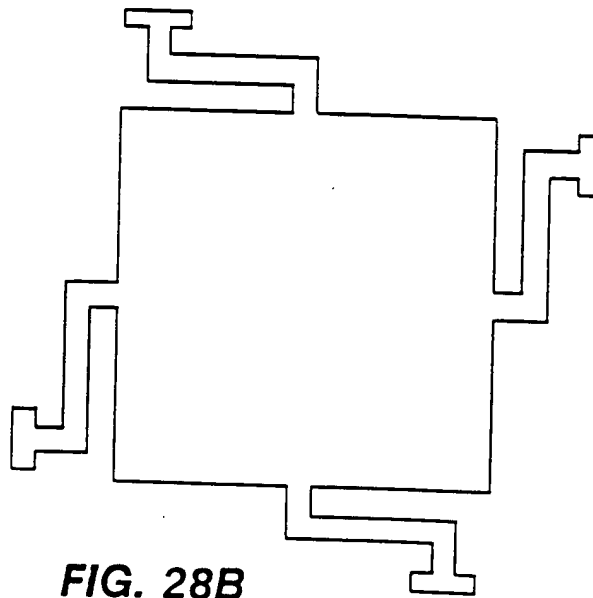
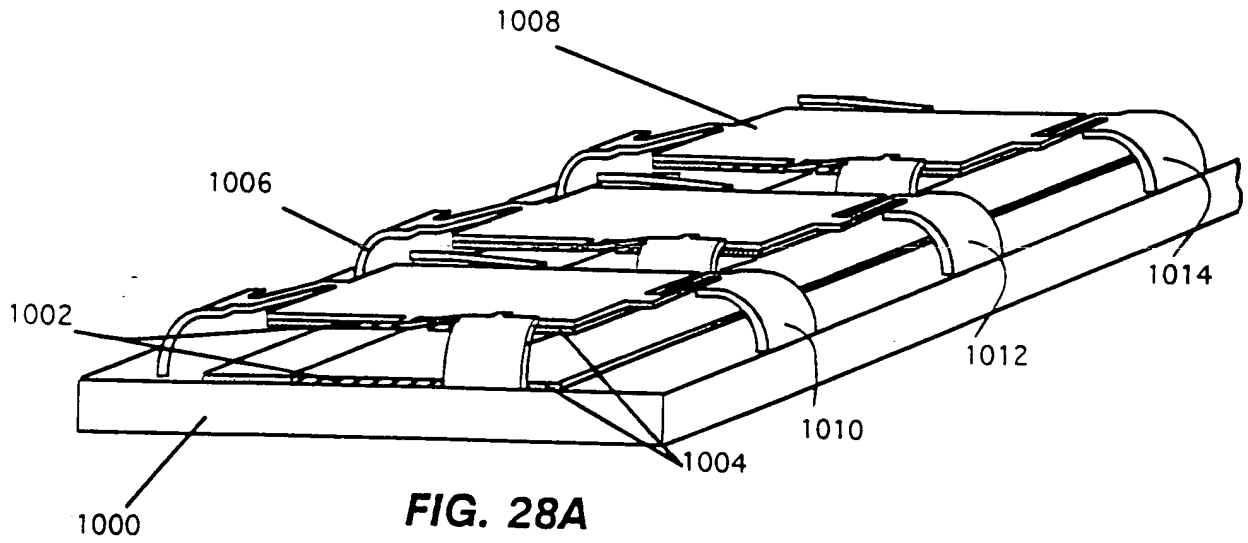


FIG. 27D

205222 46528001



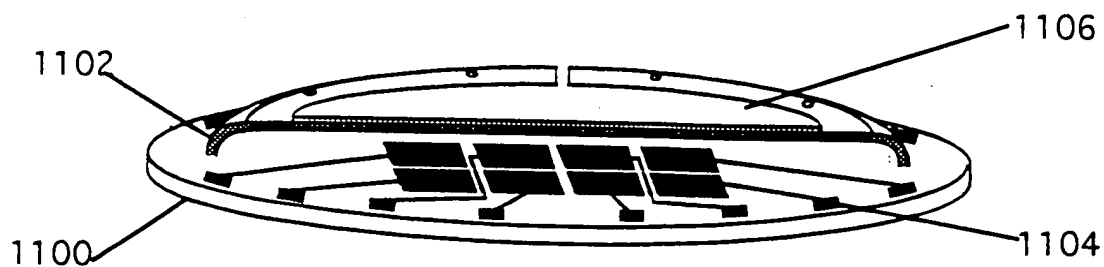


FIG. 29A

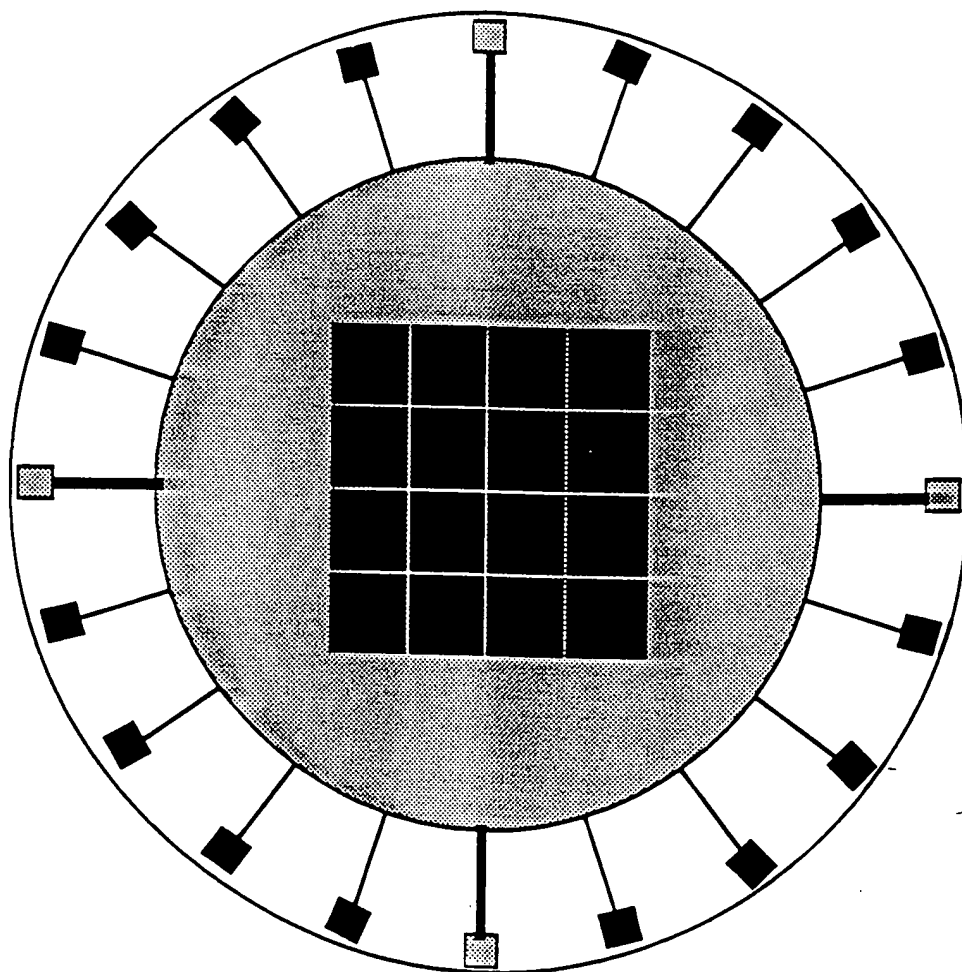


FIG. 29B

205220 44528001